

RPC. Detetores versáteis de partículas

Alberto Blanco

Em nome do grupo RPC R&D do LIP-Coimbra



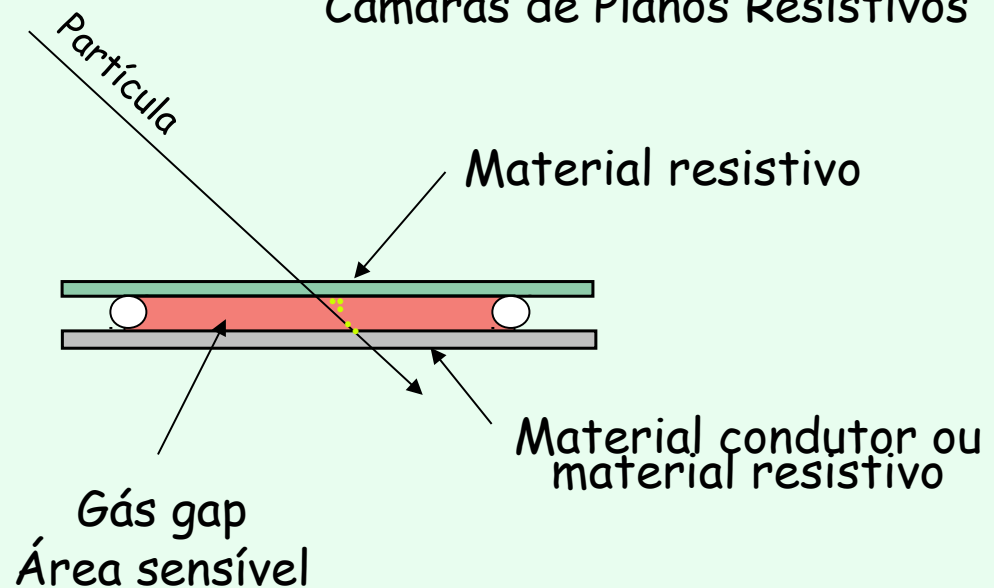
Estágios de verão



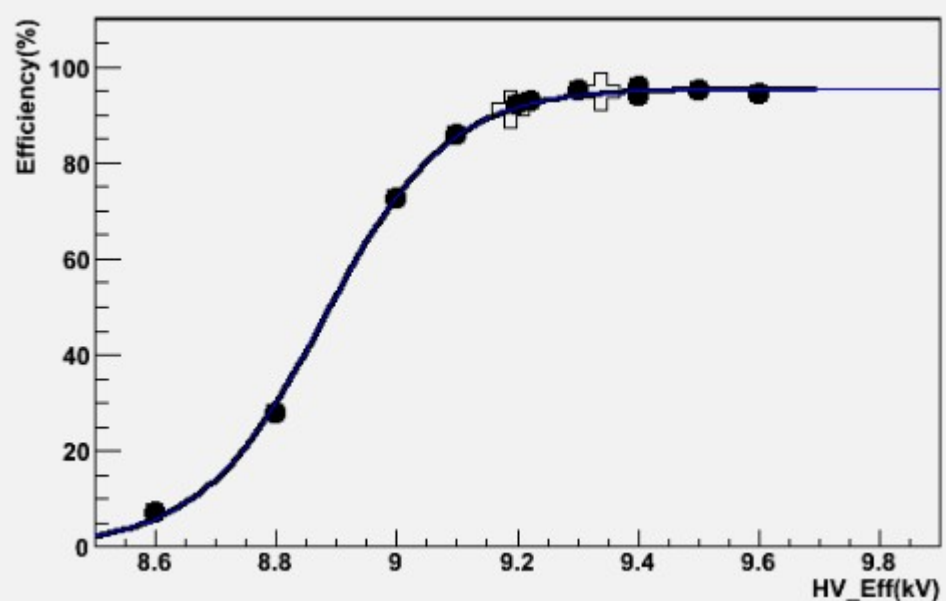
LABORATÓRIO DE INSTRUMENTAÇÃO E
FÍSICA EXPERIMENTAL DE PARTICULAS

Detetores RPC. Funcionamento básico. Formação de sinal.

RPC => Resistive Plate Chambers
Câmaras de Planos Resistivos



Tipo de **gás e espessura** ~mm
Permitem obter **eficiências próximas a 100%**



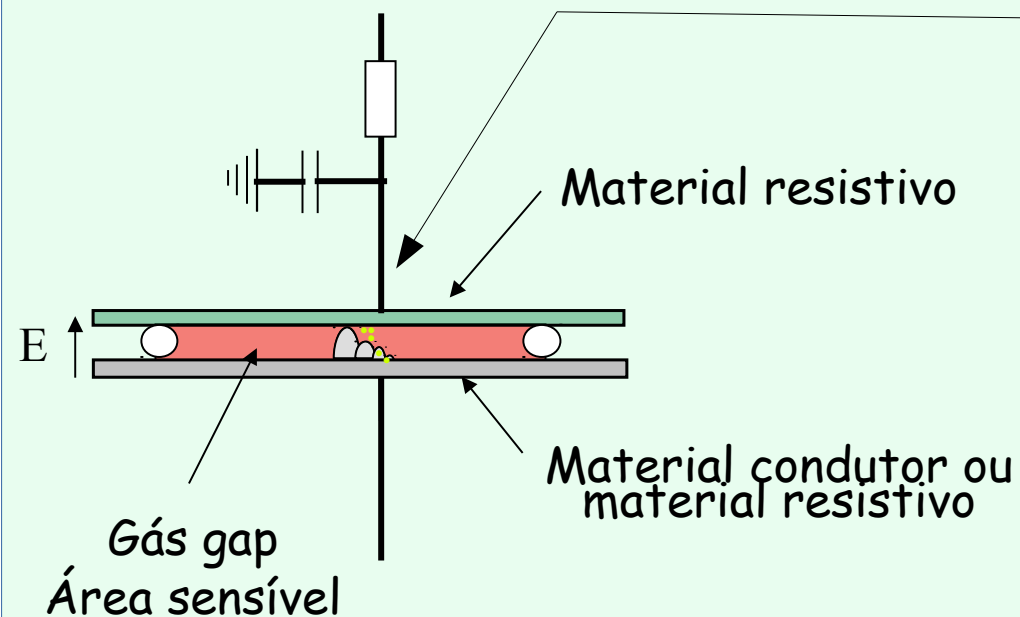
Ionização do gás pela partícula incidente.
Ionização primaria

Estágios de verão



LABORATÓRIO DE INSTRUMENTAÇÃO E
FÍSICA EXPERIMENTAL DE PARTICULAS

Detetores RPC. Funcionamento básico. Formação de sinal.



Multiplicação em avalanche



Crescimento exponencial

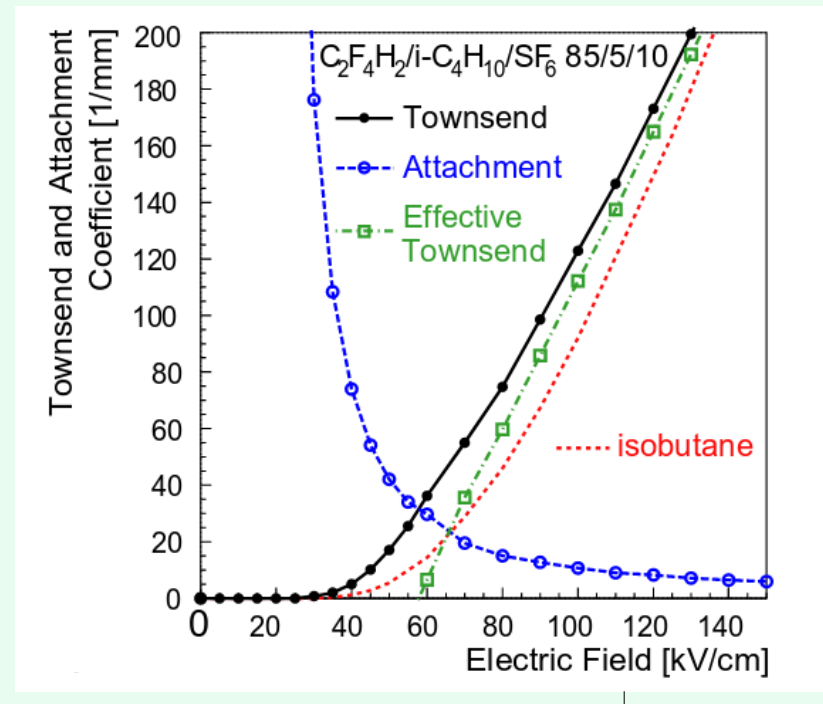
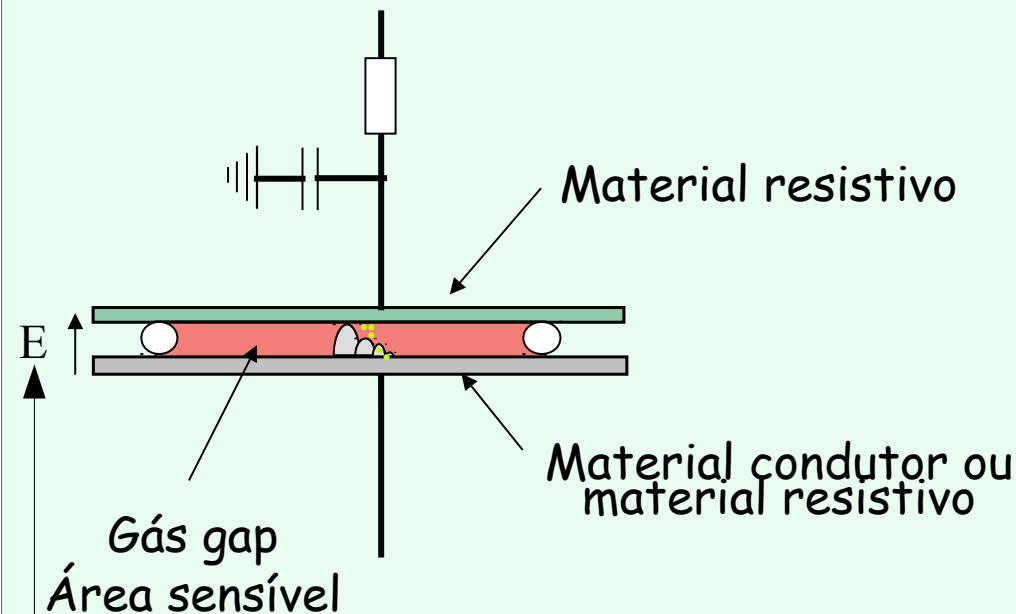
$$n_e(x, y, z, t) = n_0 e^{\alpha v_e t} \frac{1}{(4\pi D_e t)^{3/2}} \exp\left(-\frac{x^2 + y^2 + (z - v_e t)^2}{4D_e t}\right)$$

Multiplicação da ionização primaria

Estágios de verão



Detetores RPC. Funcionamento básico. Formação de sinal.



Campos elétricos muito elevados
=> sinal muito rápida => muito boa
Resolução em tempo < 1 ns

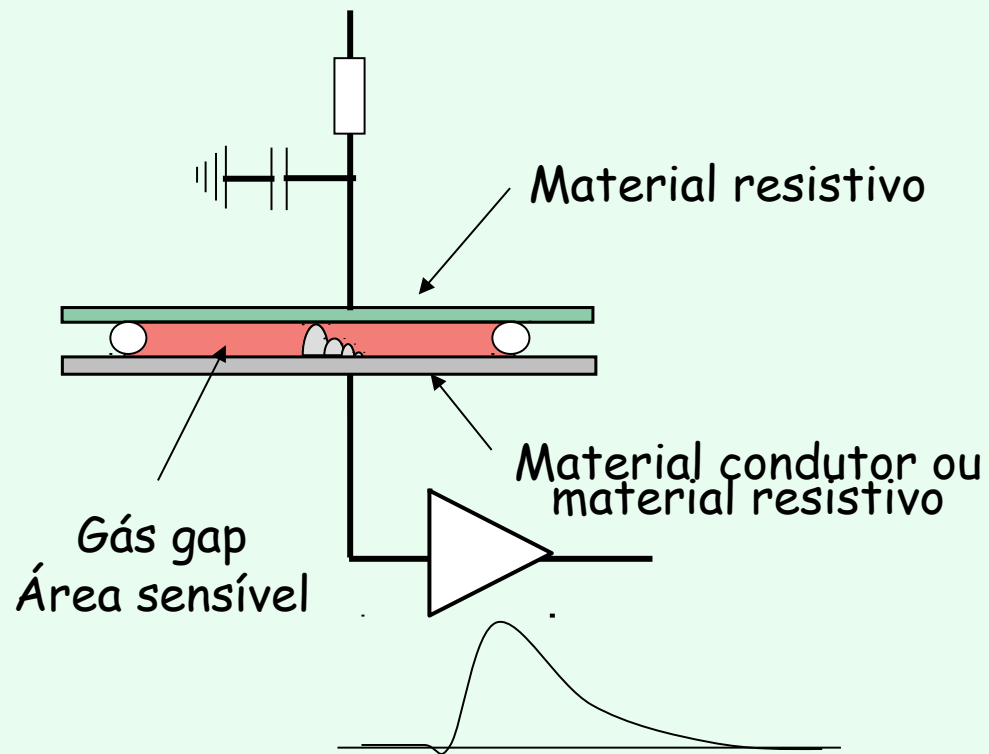
Multiplicação da ionização primaria

Estágios de verão



LABORATÓRIO DE INSTRUMENTAÇÃO E
FÍSICA EXPERIMENTAL DE PARTÍCULAS

Detetores RPC. Funcionamento básico. Formação de sinal.



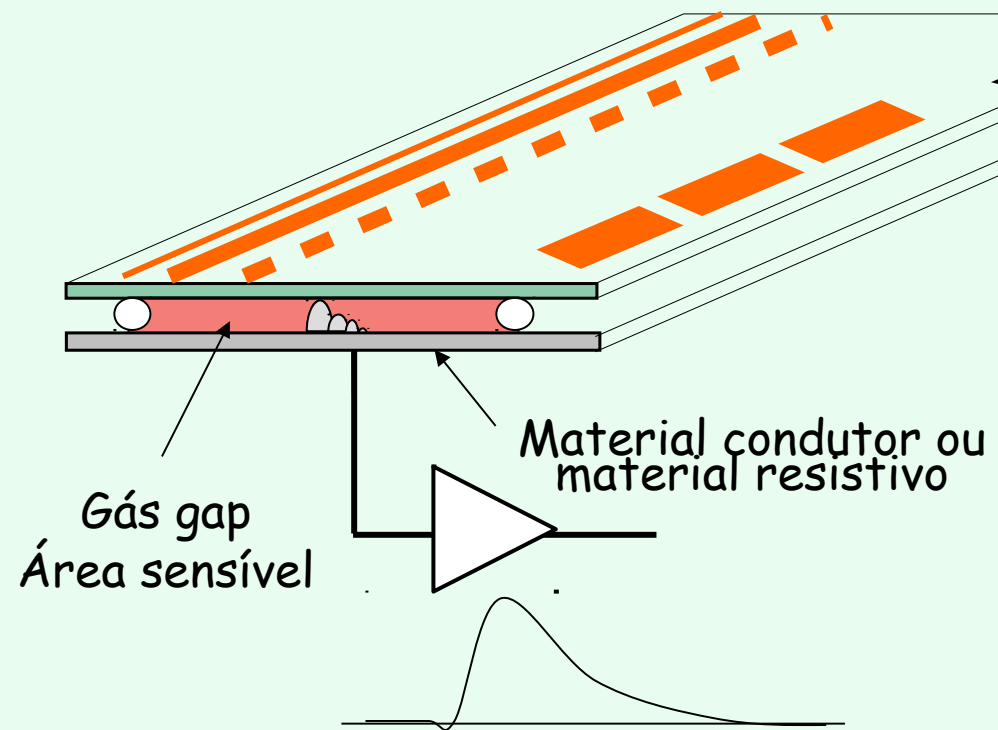
Movimento de cargas => **indução de sinal**
Pulso de corrente

Estágios de verão



LABORATÓRIO DE INSTRUMENTAÇÃO E
FÍSICA EXPERIMENTAL DE PARTÍCULAS

Detetores RPC. Funcionamento básico. Formação de sinal.



- Strips
- Pads

Diferentes formas e tamanhos

Estruturas feitas com tecnologia
de fabrico de circuitos eletrónicos
=> tamanhos diminutos =>
resolução espacial < 1 mm

Diferentes **estratégias na leitura** dos sinais induzidos

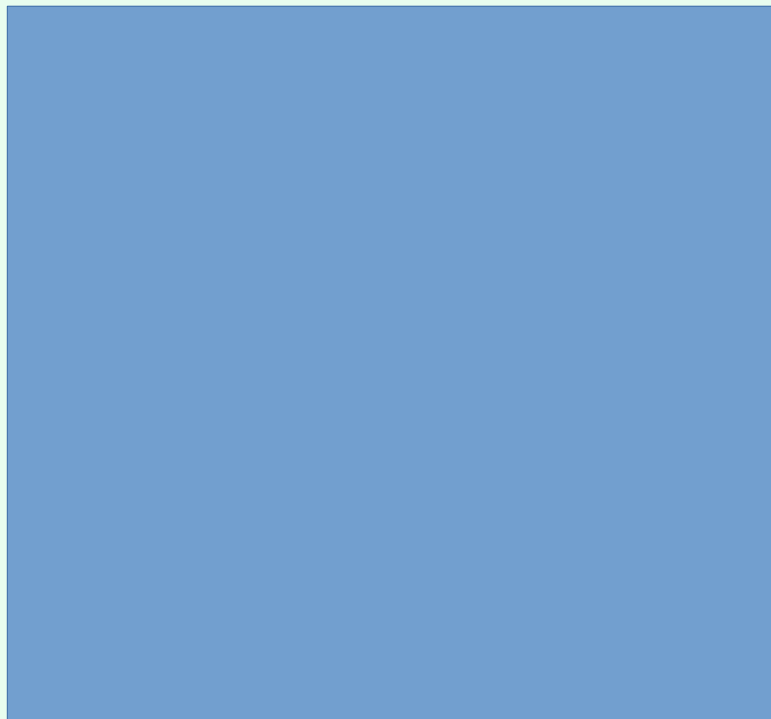
Estágios de verão



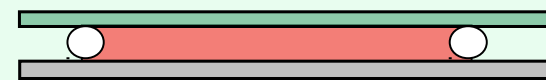
LABORATÓRIO DE INSTRUMENTAÇÃO E
FÍSICA EXPERIMENTAL DE PARTICULAS

Detetores RPC. Funcionamento básico.

20x20
mm



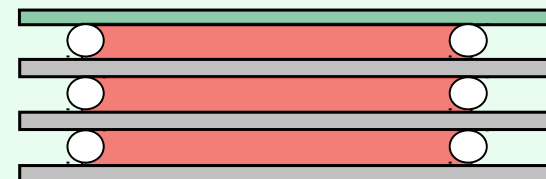
2000x2000
mm



1 gap



2 gap



3 gap

Diferentes geometrias (tamanhos, formas) e configurações possíveis.
Materiais banais (vidro de janela, alumínio, aço, plástico,)

Detetores RPC. Características.

- Boa **eficiência de deteção** ~ 100 %
 - Boa **resolução em tempo** < 1 ns
 - Boa **resolução em posição** < 1 mm

- **Grandes e pequenas áreas**
- **Construido com matérias banais**

Excelentes prestações e capacidade de adaptação

Estágios de verão



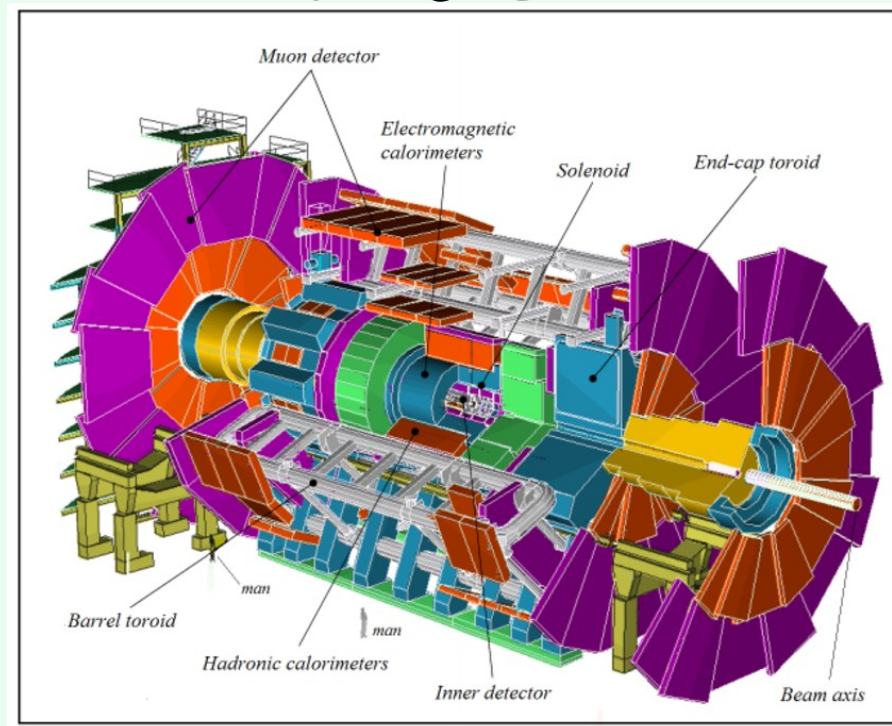
LABORATÓRIO DE INSTRUMENTAÇÃO E
FÍSICA EXPERIMENTAL DE PARTÍCULAS

Detetores RPC.

Experimentos de física de altas energias.

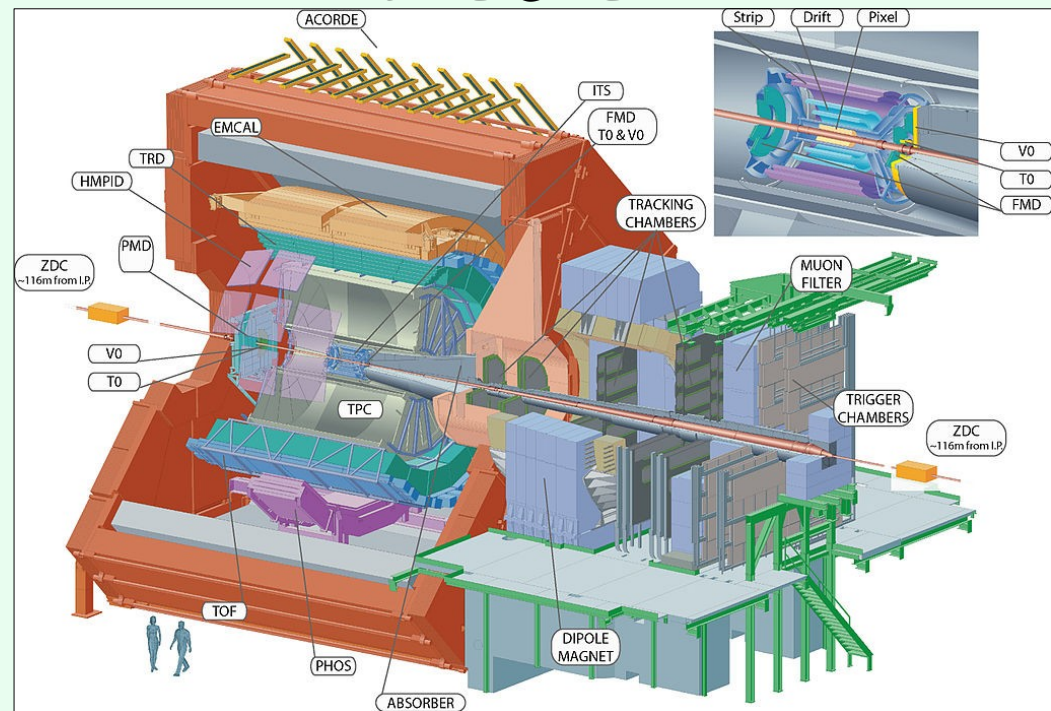
Alta eficiência, excelente resolução em tempo, relação custo/área ótima.

ATLAS @ CERN



RPC de trigger

ALICE @ CERN



RPC medida de tempo

Estágios de verão

LABORATÓRIO DE INSTRUMENTAÇÃO E
FÍSICA EXPERIMENTAL DE PARTICULAS



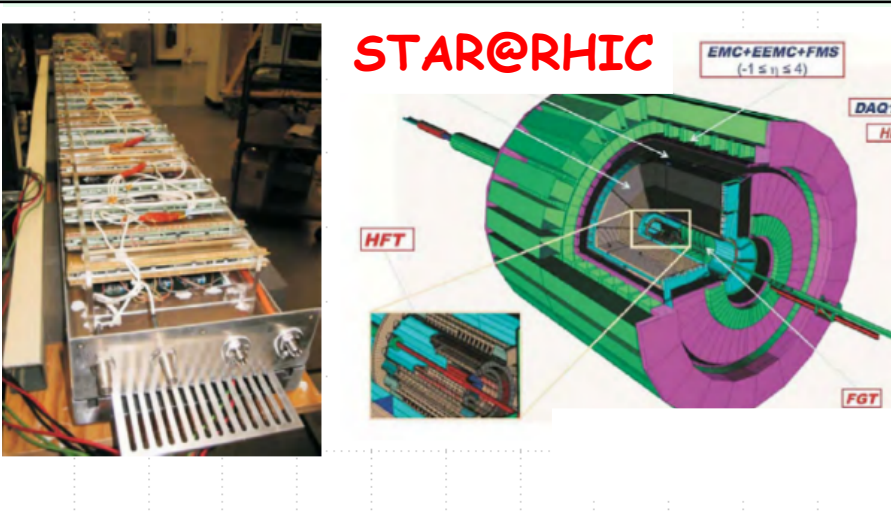
Detetores RPC.

Experimentos de física de altas energias.

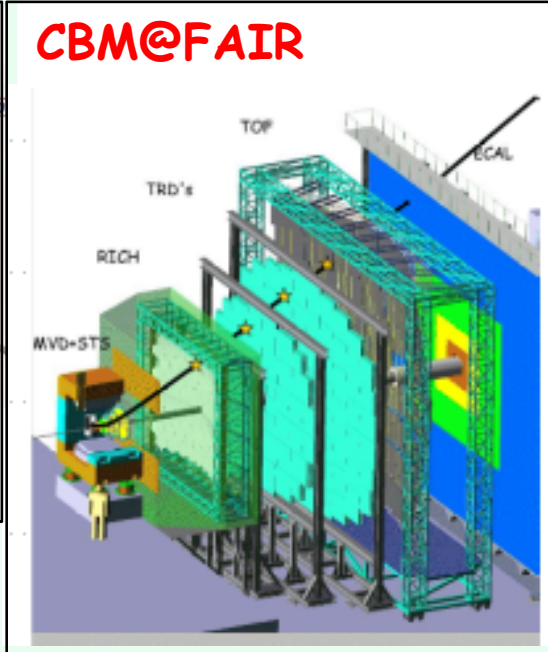
FOPI@GSI



STAR@RHIC



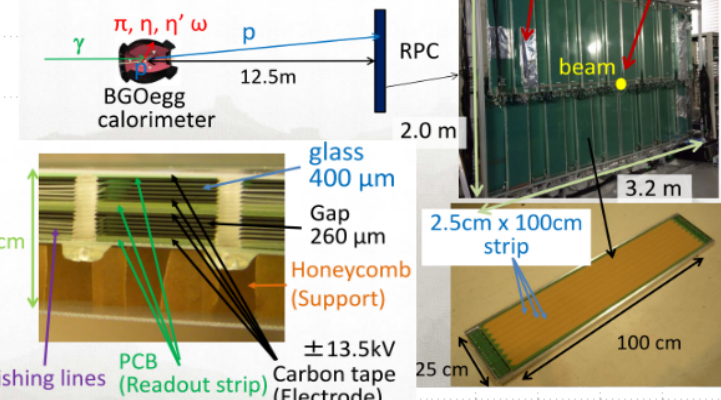
CBM@FAIR



BGOegg@LEP2 (SPRING8)

BGOegg experiment at SPring-8 2014~ $\sim 10\text{Hz/cm}^2$ $\sim 1\text{kHz/cm}^2$

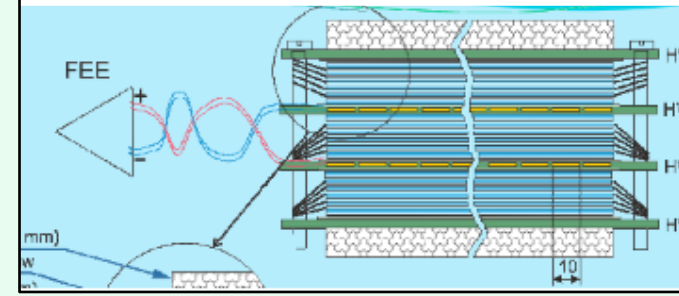
Hadron photo-production



TOF endcap@BESIII



NICA@JINR



Estágios de verão

Detetores RPC.

Experimentos de física de altas energias.

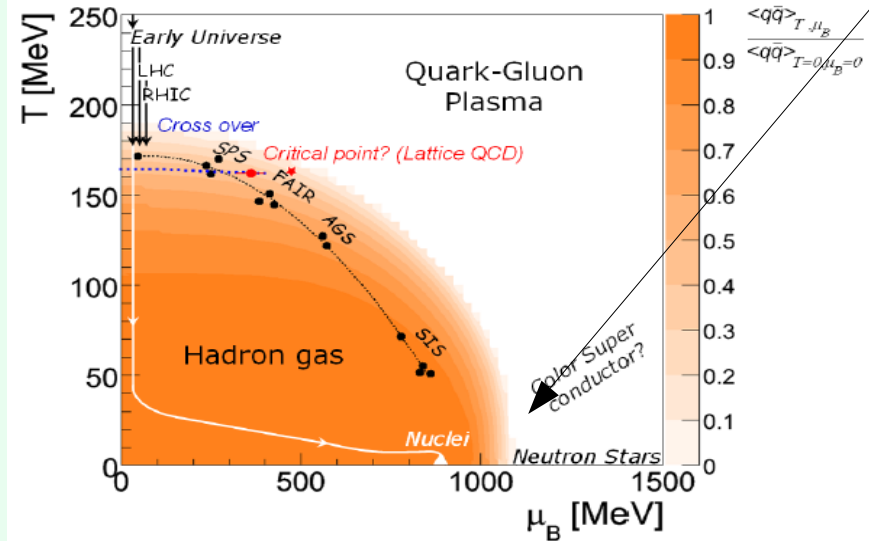


LABORATÓRIO DE INSTRUMENTAÇÃO E
FÍSICA EXPERIMENTAL DE PARTÍCULAS



HADES High Acceptance DiElectron Spectrometer @ GSI Frankfurt

Estudo das propriedades da matéria nuclear densa e fria.



Colaboração internacional de 19 institutos
de 10 países Europeus

Chipre, República Checa, França, Alemanha, Itália, Polónia,
Portugal, Rússia, Eslovaca, Espanha.



Parte do **espectro pouco conhecido**,
Cria o ambiente existente nas **colisões**
de estrelas de neutrões

Estágios de verão

Detetores RPC.

Experimentos de física de altas energias.

LABORATÓRIO DE INSTRUMENTAÇÃO E
FÍSICA EXPERIMENTAL DE PARTÍCULAS



Made in LIP

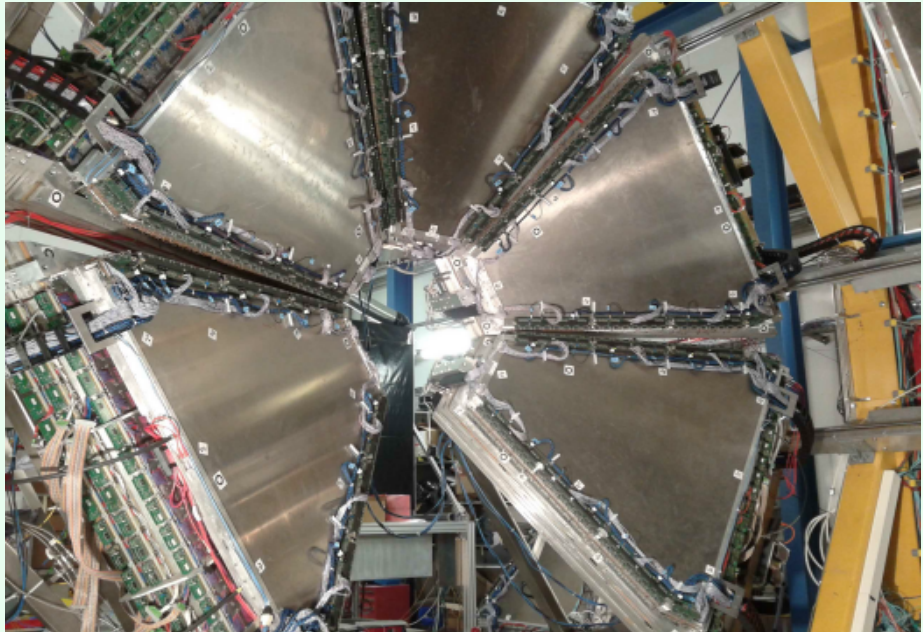
HADES High Acceptance DiElectron Spectrometer @ GSI Frankfurt

$$\begin{aligned}\Delta t &= L \left(\frac{1}{v_1} - \frac{1}{v_2} \right) = \frac{L}{c} \left(\frac{1}{\beta_1} - \frac{1}{\beta_2} \right) \\ &= \frac{L}{pc^2} (E_1 - E_2) = \frac{L}{pc^2} \left(\sqrt{p^2 c^2 + m_1^2 c^4} - \sqrt{p^2 c^2 + m_2^2 c^4} \right)\end{aligned}$$

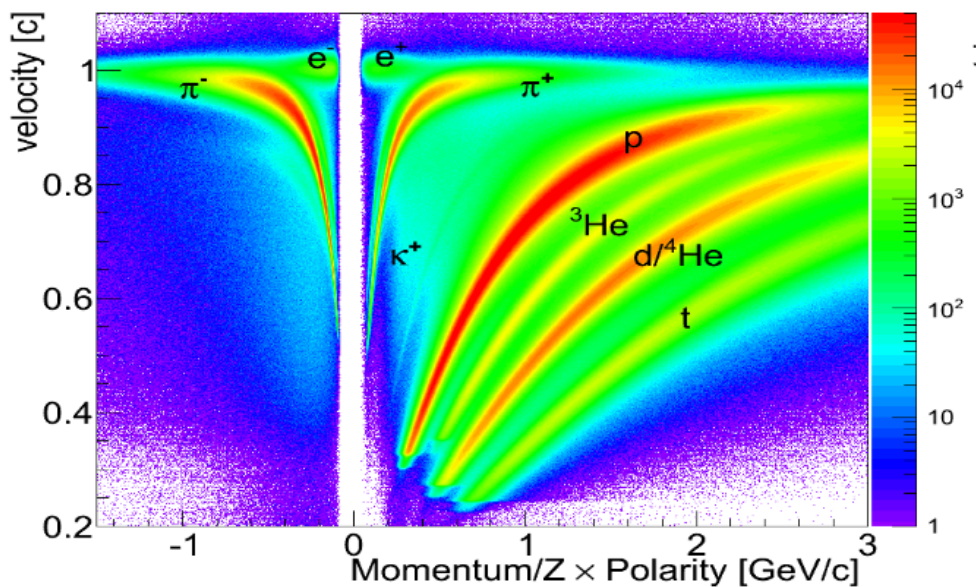
Relativistic particles, $E \simeq pc \gg m_i c^2$:

$$\Delta t \approx \frac{L}{pc^2} \left[(pc + \frac{m_1^2 c^4}{2pc}) - (pc + \frac{m_2^2 c^4}{2pc}) \right]$$

$$\Delta t = \frac{Lc}{2p^2} (m_1^2 - m_2^2)$$



Identificação de partículas
medindo o tempo de voo



Estágios de verão

LABORATÓRIO DE INSTRUMENTAÇÃO E
FÍSICA EXPERIMENTAL DE PARTÍCULAS

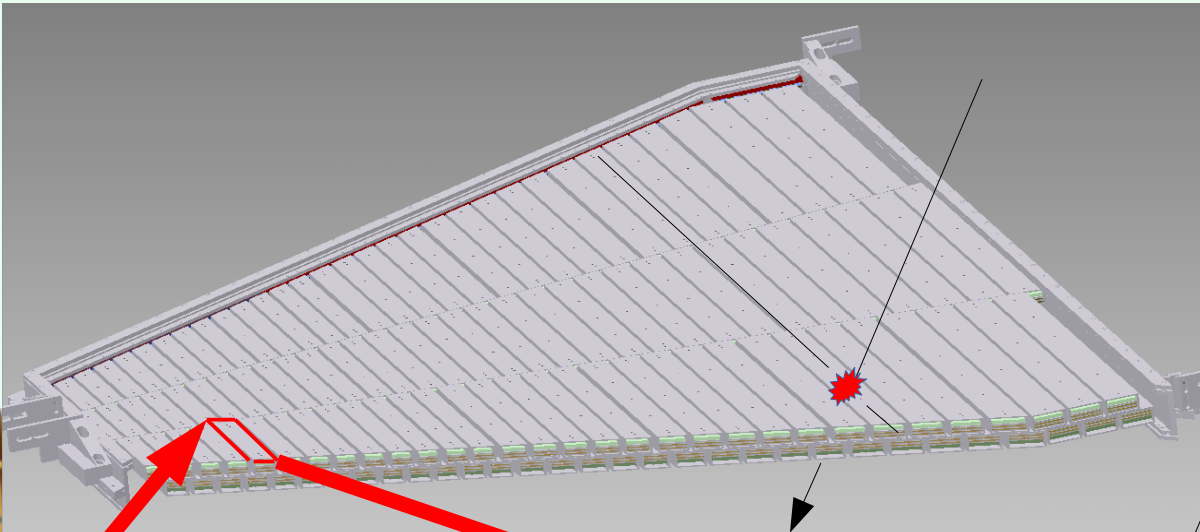
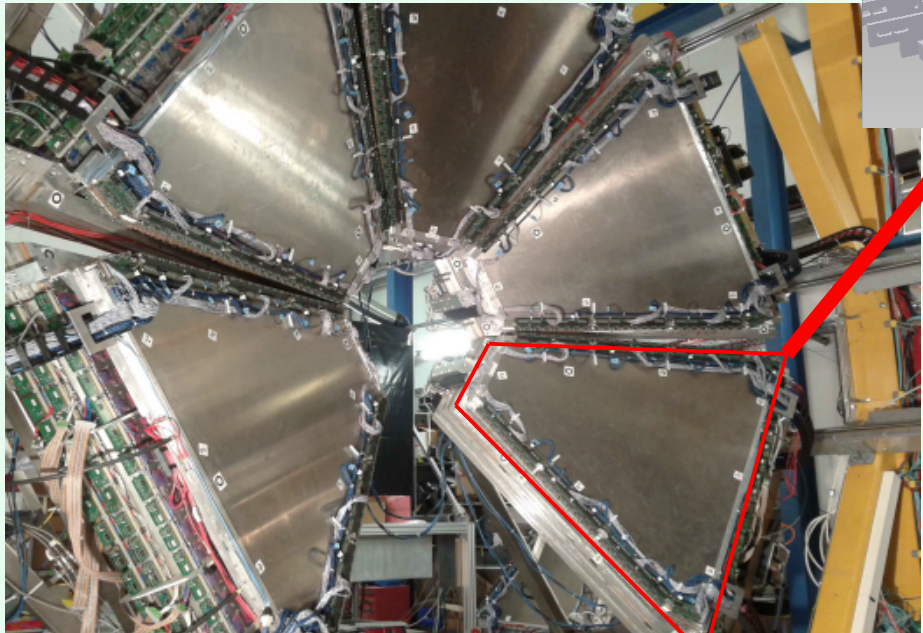


Detetores RPC.

Experimentos de física de altas energias.

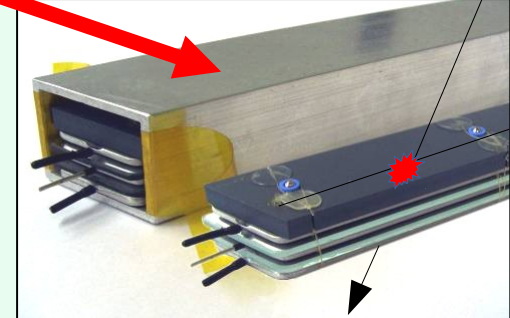
HADES High Acceptance DiElectron Spectrometer @ GSI Frankfurt

Excelente **resolução em tempo** 60 ps
e **alta eficiência** > 90%



- **RPCs individuais.** Nunca antes feito !!! **Alta performance** em ambientes de **muitas partículas**.

- 1200 RPCs, 8 m²



Pode-se ver um sector no 4 andar

Estágios de verão

LABORATÓRIO DE INSTRUMENTAÇÃO E
FÍSICA EXPERIMENTAL DE PARTÍCULAS

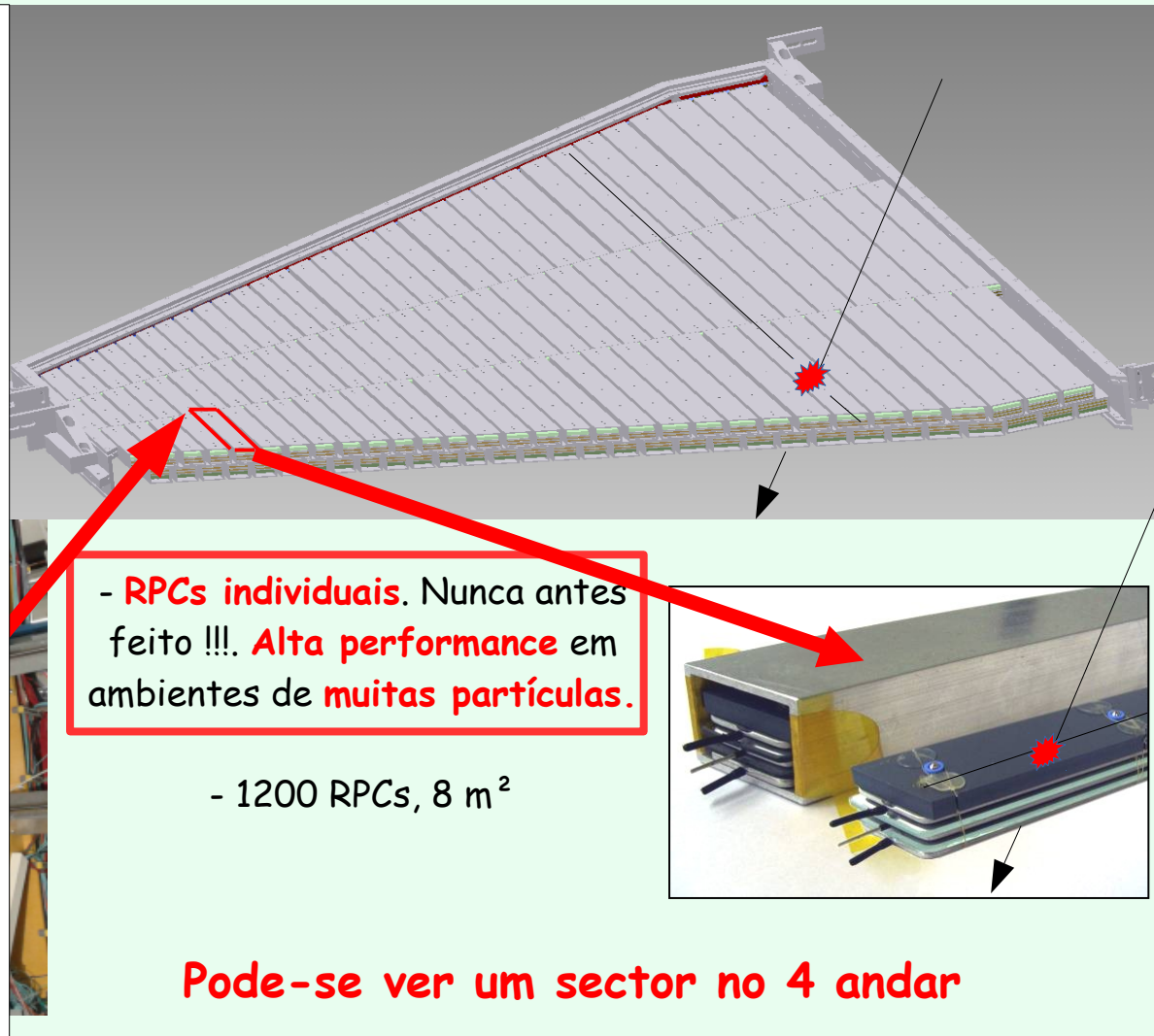
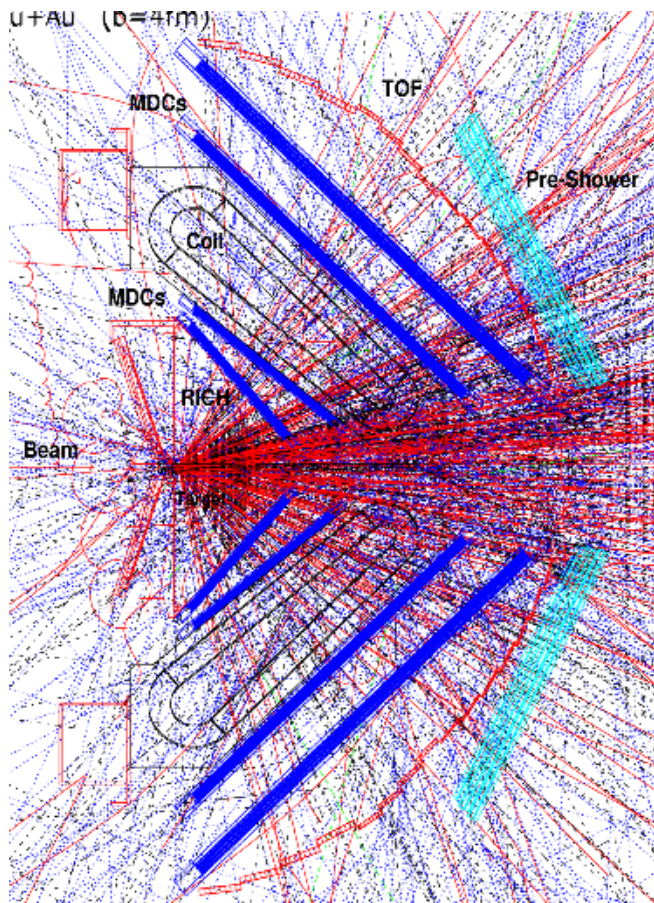


Detetores RPC.

Experimentos de física de altas energias.

HADES High Acceptance DiElectron Spectrometer @ GSI Frankfurt

Ilustração de Colisão Au+Au



- RPCs individuais. Nunca antes feito !!! Alta performance em ambientes de muitas partículas.

- 1200 RPCs, 8 m²

Pode-se ver um sector no 4 andar

Estágios de verão

LABORATÓRIO DE INSTRUMENTAÇÃO E
FÍSICA EXPERIMENTAL DE PARTÍCULAS



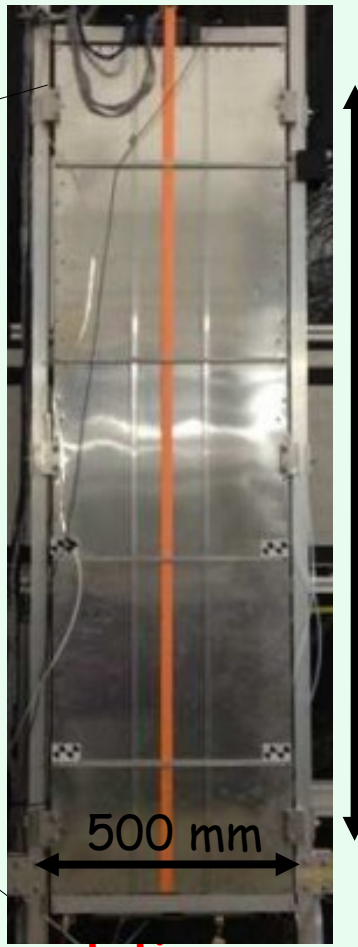
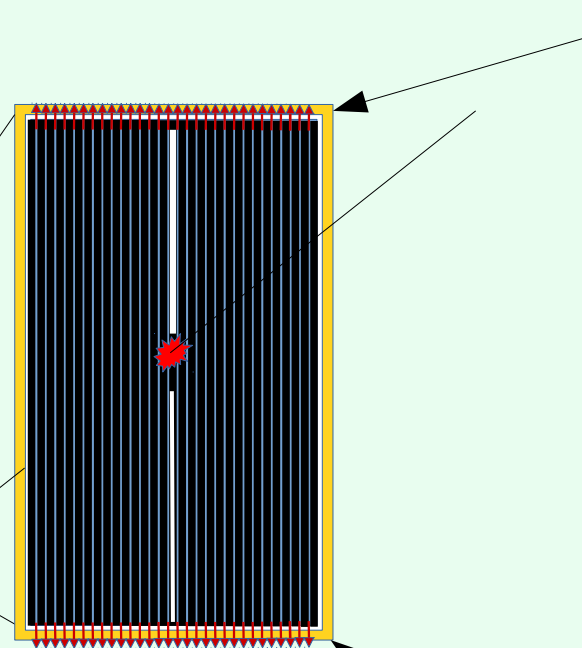
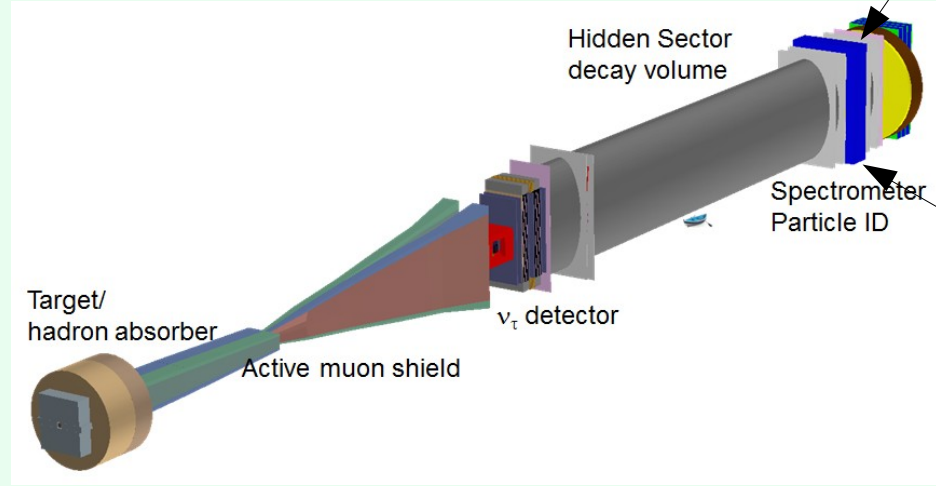
Detetores RPC.

Experimentos de física de altas energias.

SHIP Search HIdden Particles @ CERN

Experimento de descoberta a procura de nova física alem do MP na região dos GeV

- Strips em RPCs de 2 m^2
- Resolução em tempo
em grande área a baixo custo



Pode-se ver um prototipo na cave

Estágios de verão

LABORATÓRIO DE INSTRUMENTAÇÃO E
FÍSICA EXPERIMENTAL DE PARTÍCULAS



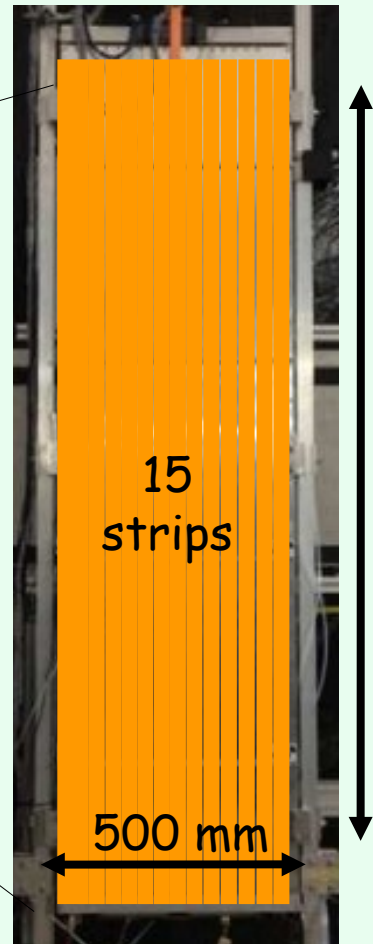
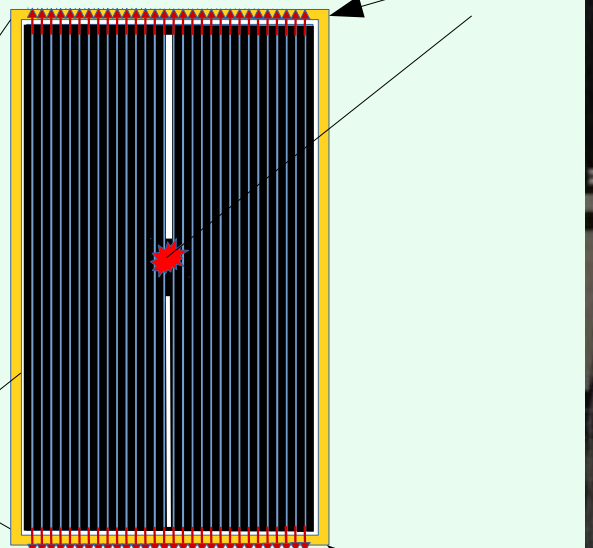
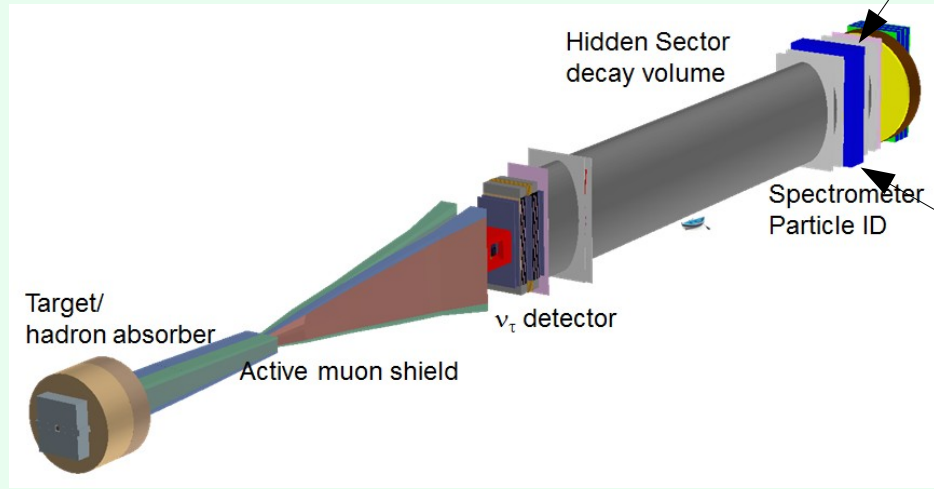
Detetores RPC.

Experimentos de física de altas energias.

SHIP Search HIdden Particles @ CERN

Experimento de descoberta a procura de nova física alem do MP na região dos GeV

- Strips em RPCs de 2 m^2
- Resolução em tempo
- em grande área a baixo custo



Pode-se ver um prototipo na cave

Estágios de verão

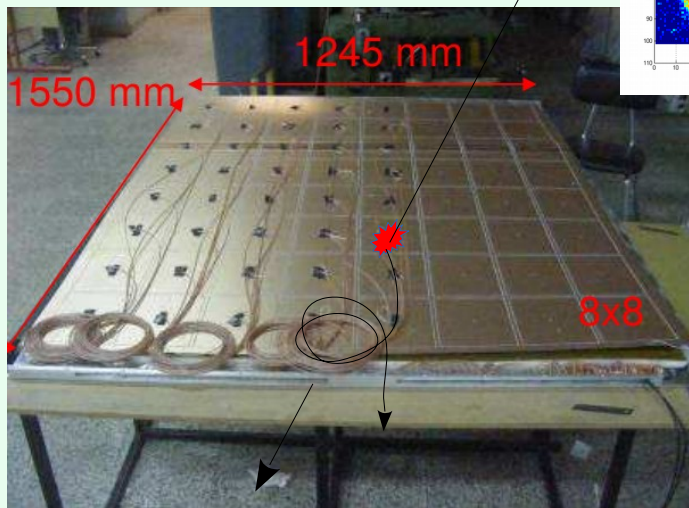
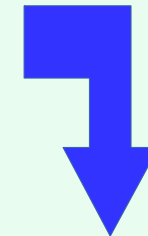
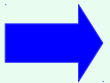
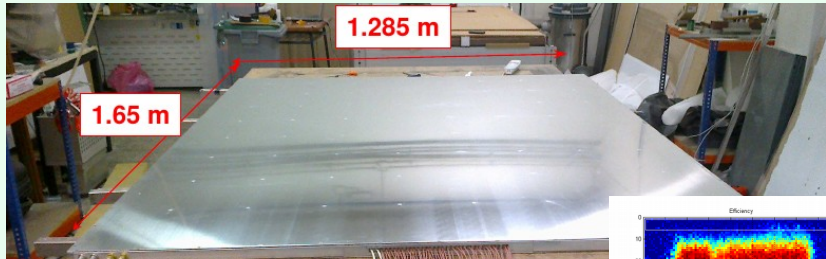
Detetores RPC.

Deteção de raios cósmicos (RC): experimento AUGER.

Alta eficiência, relação custo/área ótima, segmentação, robustez.

@ ARGENTINA

Estudo dos RC de alta energia medindo as cascatas de secundários produzidas na atmosfera.



- Baixa manutenção
- Operação isolada
- Baixo custo
- Resistente
- Nunca antes feito!!!

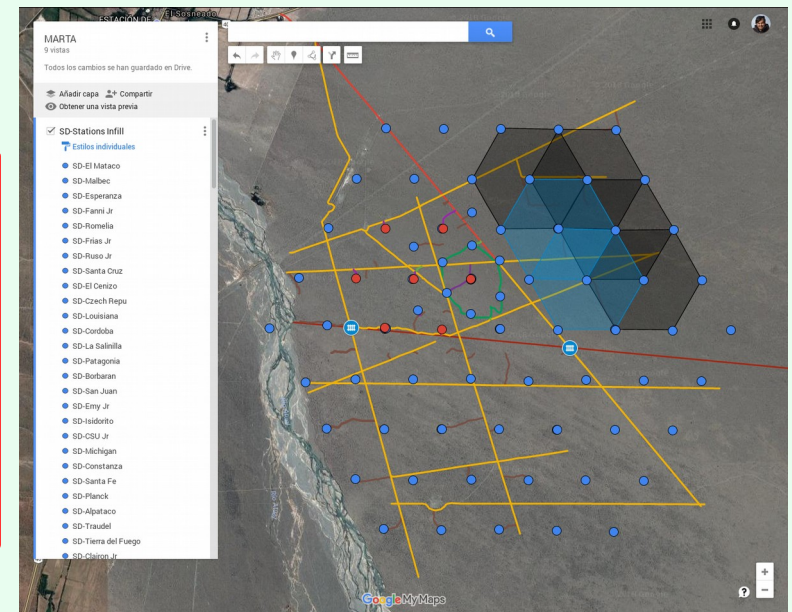
Pode-se ver estes detetores na cave



LABORATÓRIO DE INSTRUMENTAÇÃO E
FÍSICA EXPERIMENTAL DE PARCÍCULAS



Made in LIP



Estágios de verão



Detetores RPC.

Deteção de raios cósmicos (RC): experimento TRAGALDABAS

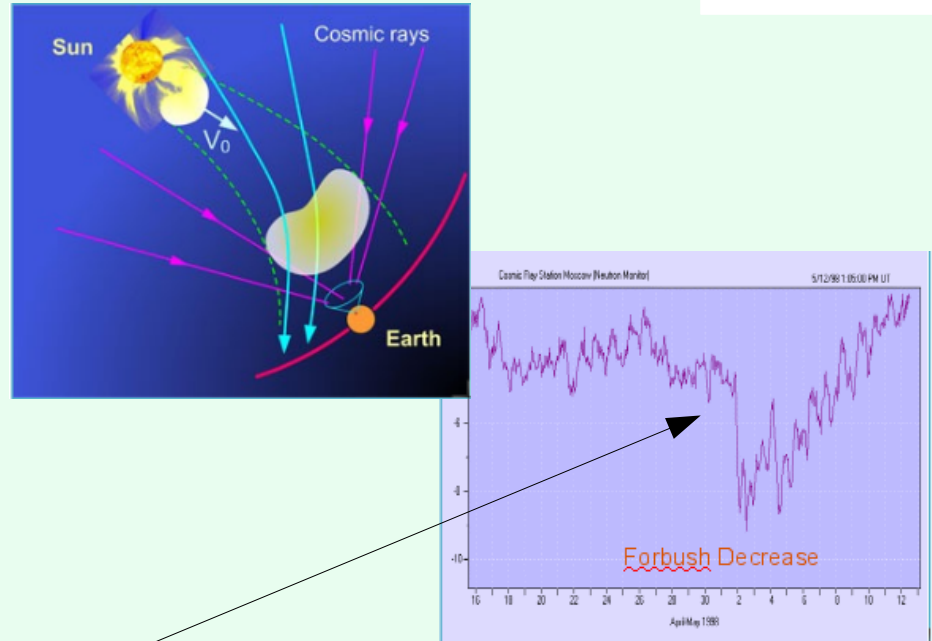
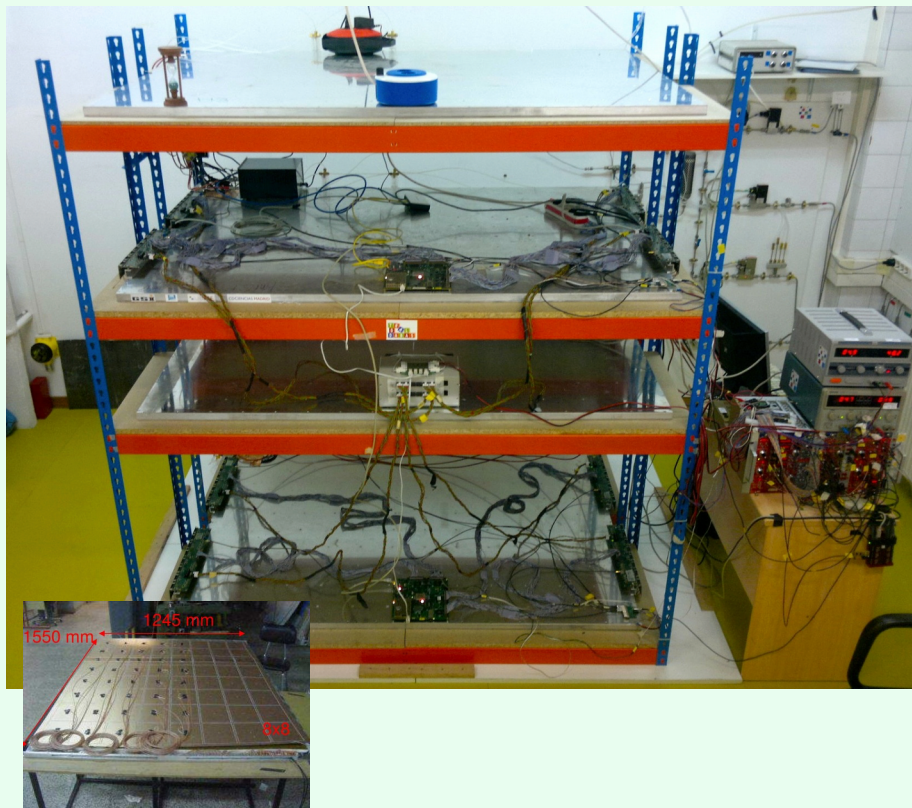
Alta eficiência, relação custo/área ótima, alta resolução temporal

@ ESPANHA

Telescópio de RC: medir com precisão o **fluxo de raios cósmicos** para estudos relacionados com a **atividade solar**.



Made in LIP



Alta sensibilidade ao fluxo de raios cósmicos modulado pela atividade solar

Estágios de verão



LABORATÓRIO DE INSTRUMENTAÇÃO E
FÍSICA EXPERIMENTAL DE PARTICULAS

Detetores RPC.

Deteção de raios cósmicos (RC): experimento TRISTAN.

Alta eficiência, relação custo/área ótima, alta resolução temporal

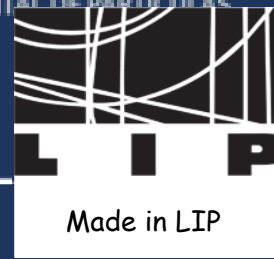
Telescópio de RC: medir com precisão o **fluxo de raios cósmicos** para estudos relacionados com a **atividade solar a longo da mesma longitude e no Polo Sul**



Pode-se ver estes detetores na cave

Estágios de verão

LABORATÓRIO DE INSTRUMENTAÇÃO E
FÍSICA EXPERIMENTAL DE PARTÍCULAS



Detetores RPC.

Medida simultânea da posição 2D e tempo.

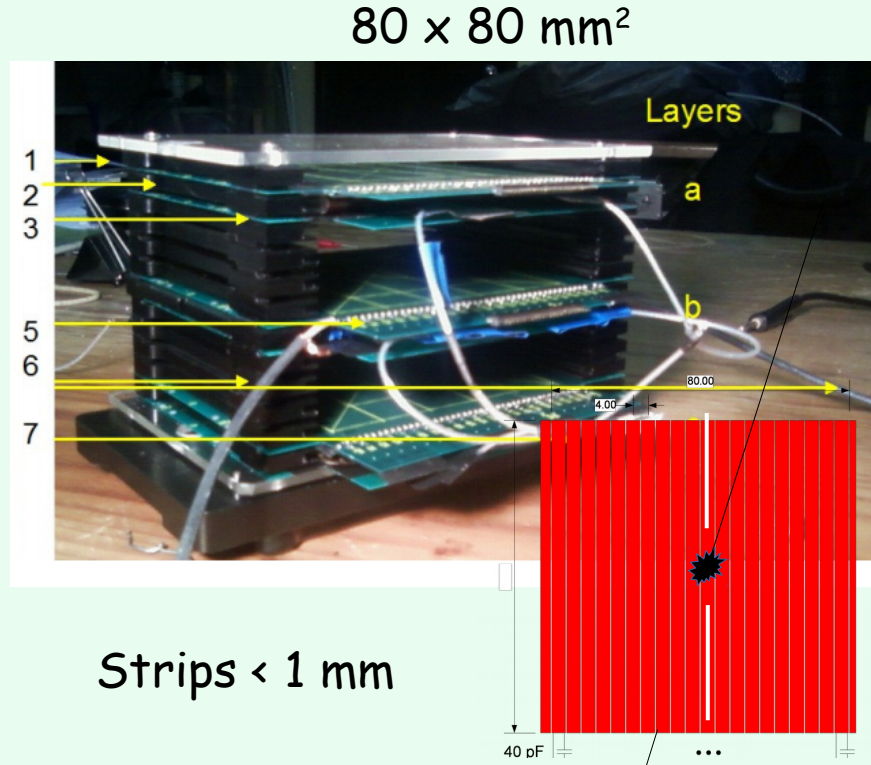
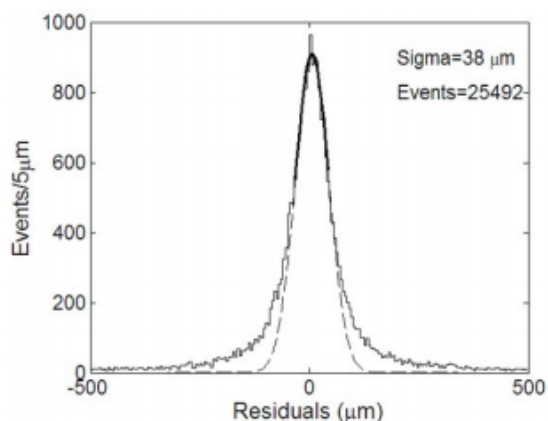
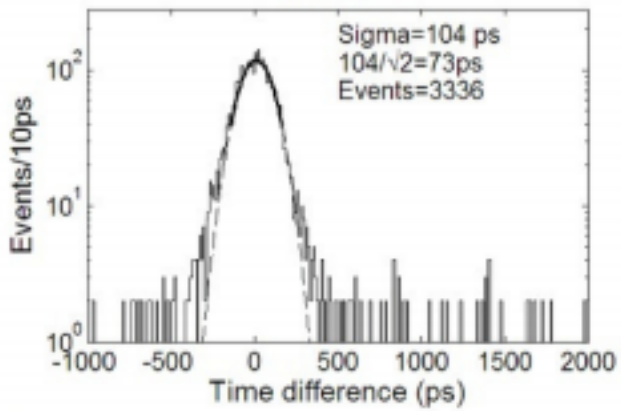
Desenvolver uma RPC capaz de medir **simultaneamente**
tempo (< 100 ps) e a posição 2D (< 1 mm).

Aplicações:

- Identificação de partículas em Experimentos de Física de altas energias. => medição do simultânea do momento e velocidade
- Tomografia de muões.
- PET

Nunca antes feito !!!

Resolução tempo ~ 77 ps σ , posição ~ 38 μm σ



Estágios de verão



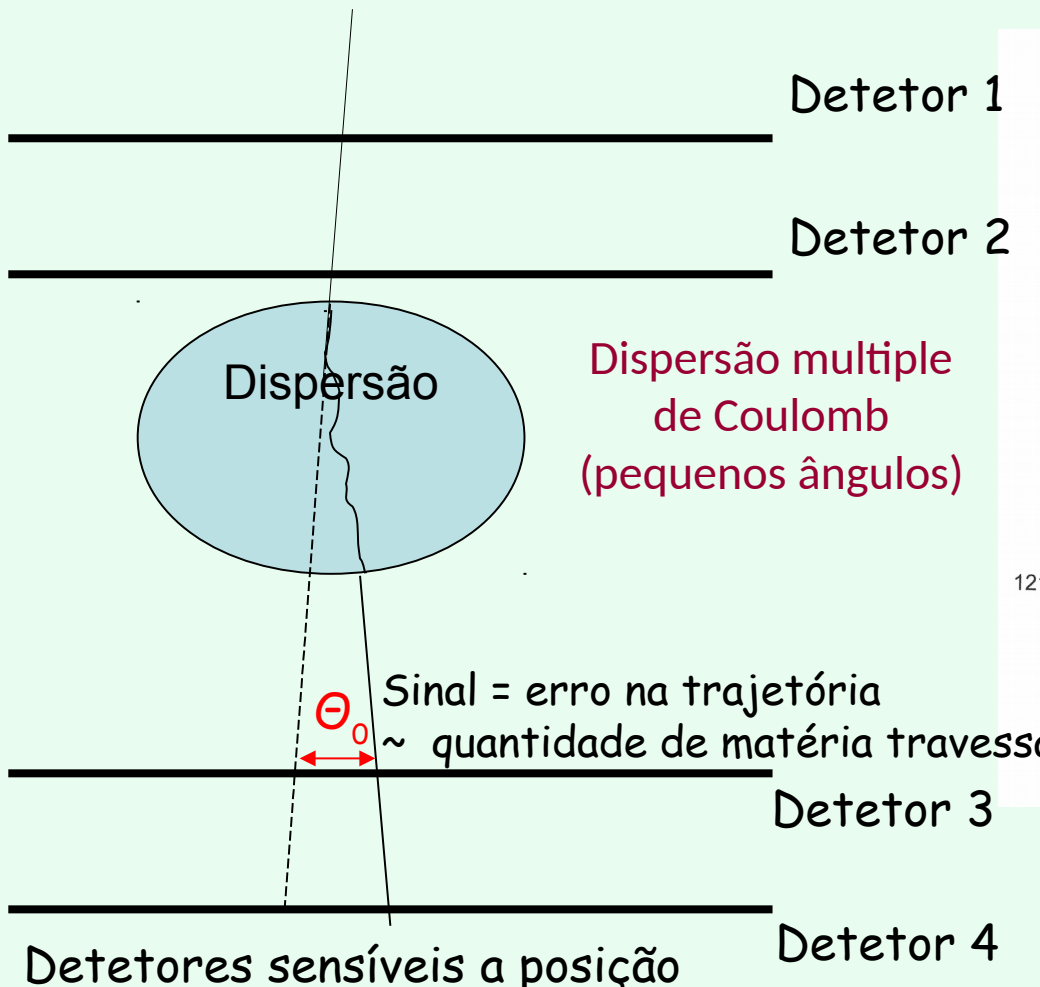
LABORATÓRIO DE INSTRUMENTAÇÃO E
FÍSICA EXPERIMENTAL DE PARTICULAS

Detetores RPC.

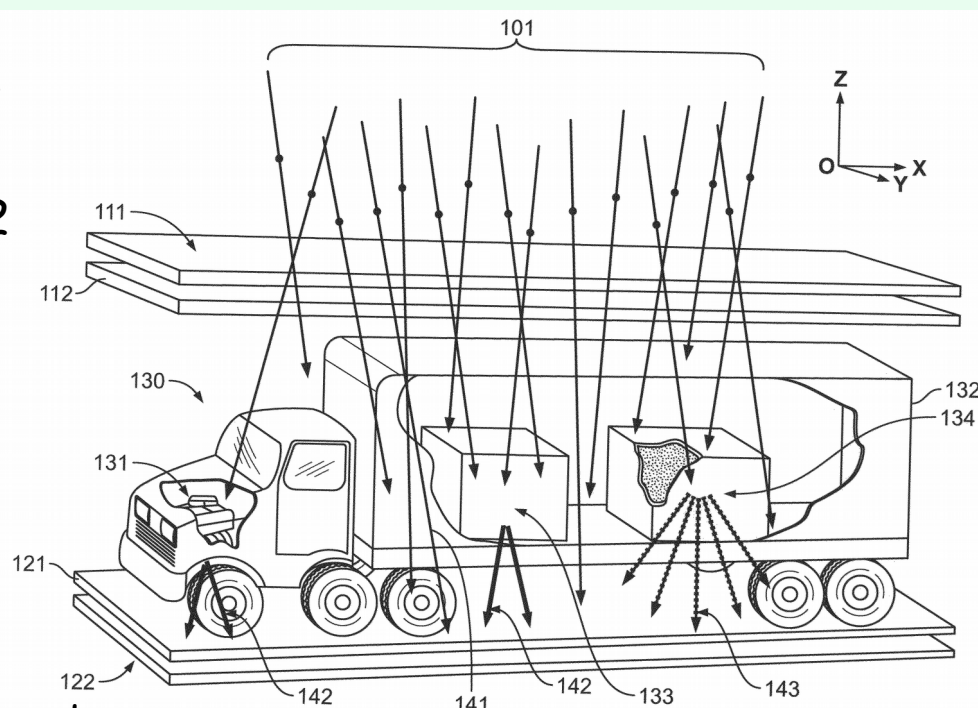
Tomografia de muoes.

Aplicar o conceito em **áreas maiores** => tomografia muónica de grandes objetos.

Inspeção de contentores de carga a procura de contrabando de material nuclear.



Sinal = erro na trajetória
~ quantidade de matéria travessada



$$\theta_0 = \frac{14.1 \text{ MeV}}{\rho \beta} \sqrt{\frac{l}{X_0}}$$

p: momento
β: velocidade
X₀: comprimento rad.
l: espessura material

Estágios de verão

Detetores RPC.

Tomografia de muoes.



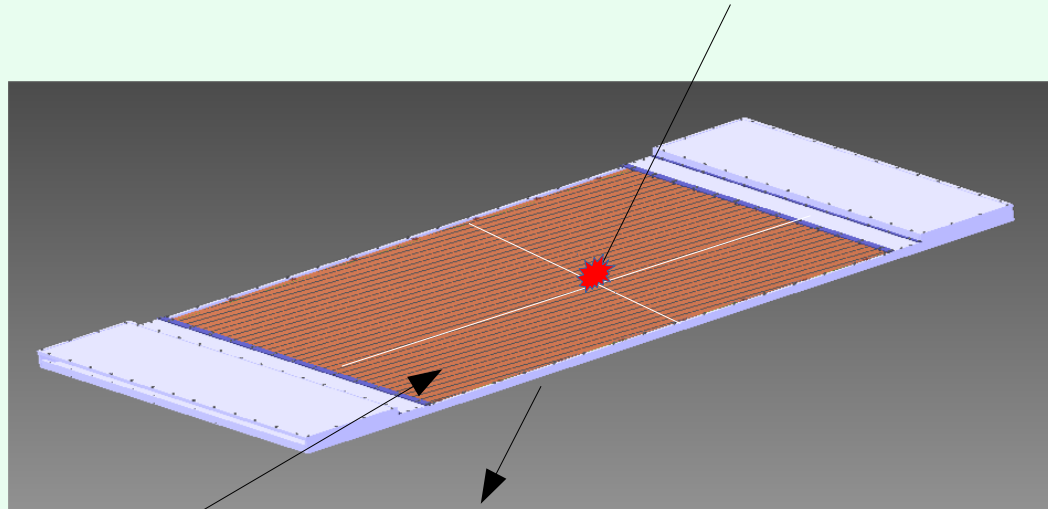
LABORATÓRIO DE INSTRUMENTAÇÃO E
FÍSICA EXPERIMENTAL DE PARTÍCULAS



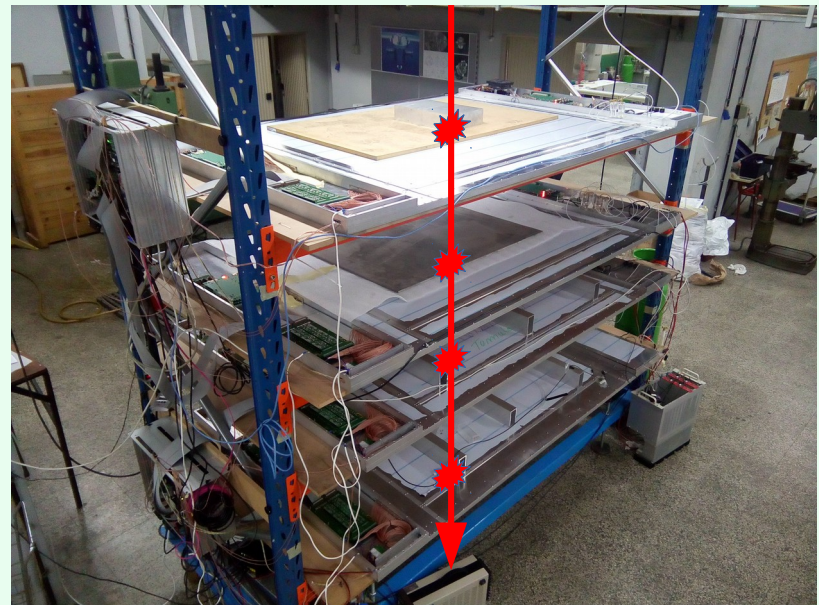
Made in LIP

Alta eficiência, relação custo/área ótima, alta resolução espacial e temporal

Inspeção de contentores de carga a procura de contrabando de material nuclear.



- Leitura em 2D strips, 2 mm
- Resolução posição $\sim 2\text{-}3 \text{ mm } \sigma$
- Resolução tempo $\sim 150 \text{ ps } \sigma$
- Área $\sim 2 \text{ m}^2$



Telescópio de 4 planos

Estágios de verão

Detetores RPC.

Tomografia de muoes.

LABORATÓRIO DE INSTRUMENTAÇÃO E
FÍSICA EXPERIMENTAL DE PARTÍCULAS



Made in LIP

Inspeção de contentores de carga a procura de contrabando de material nuclear.



Estação 1, 2x RPC



Contentor carga

Estação 2, 2x RPC

Estágios de verão

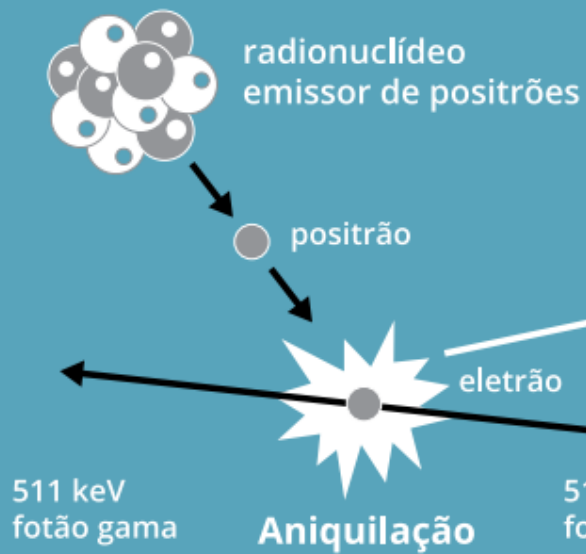


LABORATÓRIO DE INSTRUMENTAÇÃO E
FÍSICA EXPERIMENTAL DE PARTICULAS

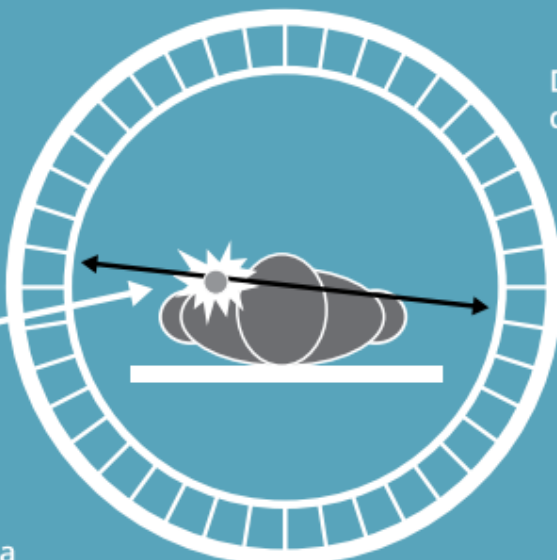
Detetores RPC.

Positron Emission Tomography. PET

Emissão de positrões
e aniquilação positrão-eletrão



Scanner de PET



Detetor
de fotões gama

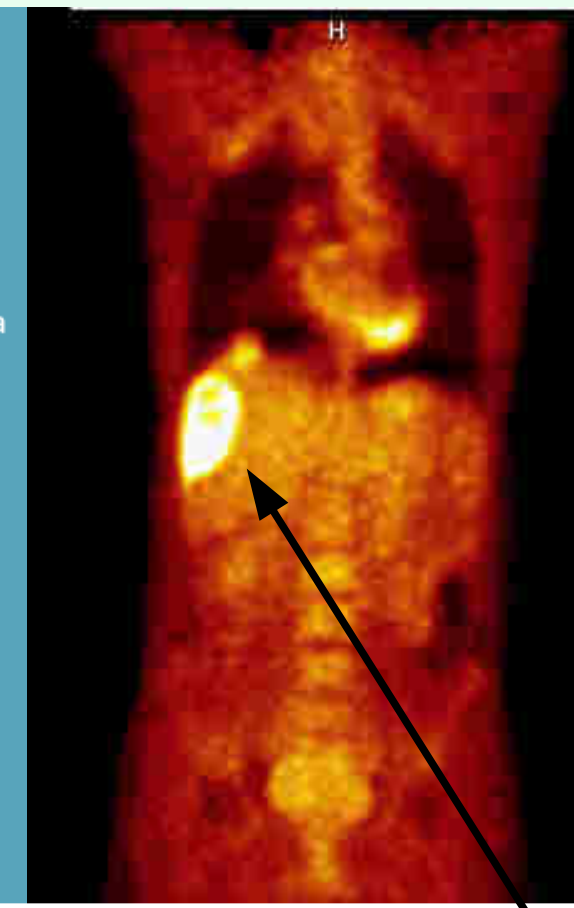


Imagen PET abdominal revelando um
tumor no fígado

Estágios de verão

LABORATÓRIO DE INSTRUMENTAÇÃO E
FÍSICA EXPERIMENTAL DE PARTÍCULAS

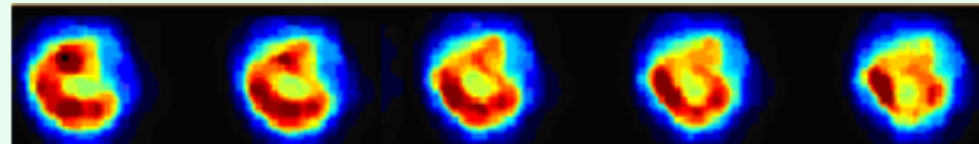


Detetores RPC.

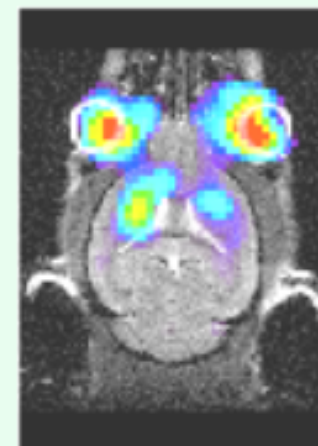
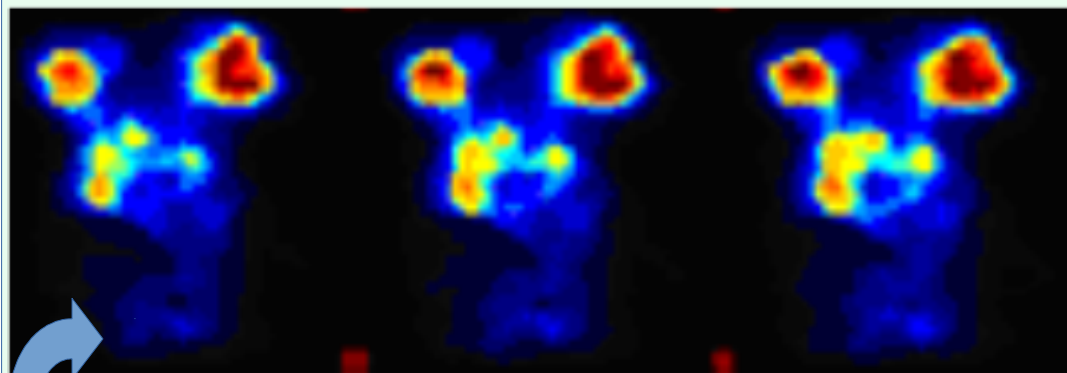
Positron Emission Tomography. PET

Relação custo/área ótima, alta resolução espacial e temporal

Scanner PET desenvolvido pelo
LIP, no ICNAS, UC .



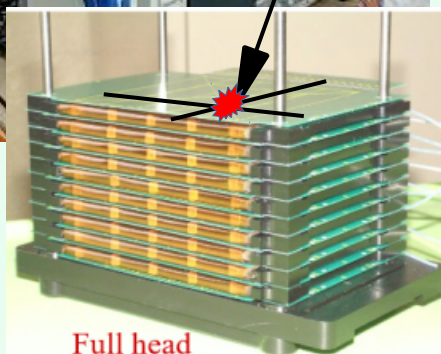
Coração de um rato. Aproximadamente 10 mm



Cabeça de um rato

0,170 mm σ resolução posição
Nunca antes feito !!!

Juntamente com
imagem estrutural



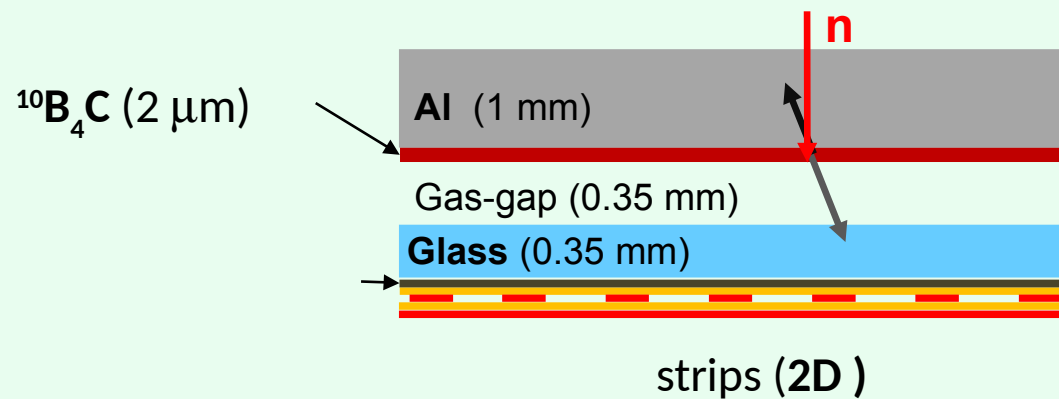
Estágios de verão



LABORATÓRIO DE INSTRUMENTAÇÃO E
FÍSICA EXPERIMENTAL DE PARTICULAS

Detetores RPC.

Detetores de neutrões baseados em ^{10}B



Pode vir a **substituir** uma tecnologia estabelecida ^3He mas inviável devido ao custo.

Estágios de verão

LABORATÓRIO DE INSTRUMENTAÇÃO E
FÍSICA EXPERIMENTAL DE PARTÍCULAS



Made in LIP

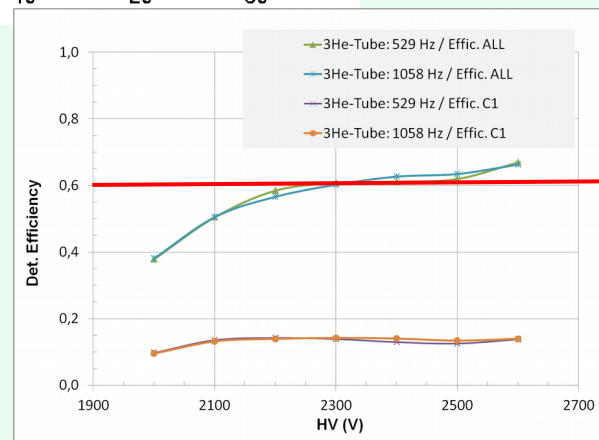
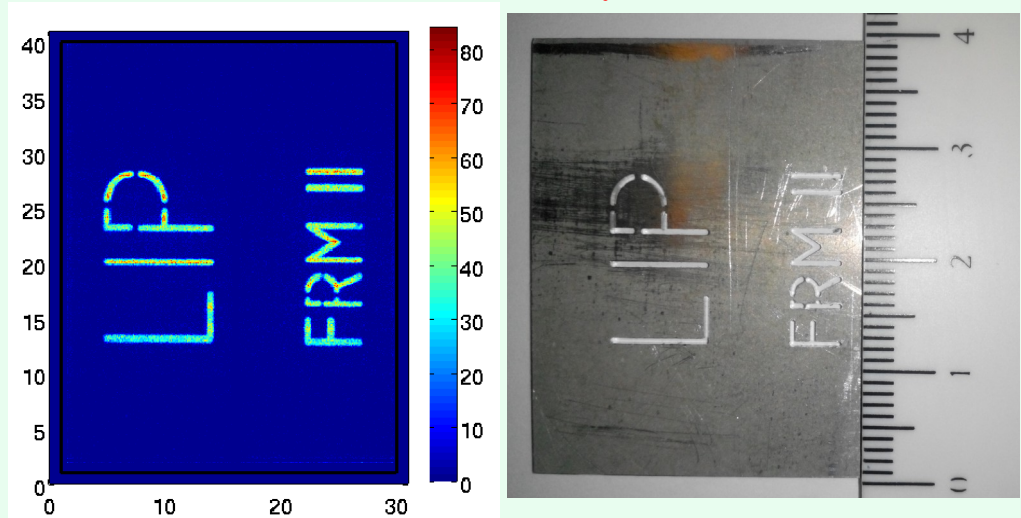
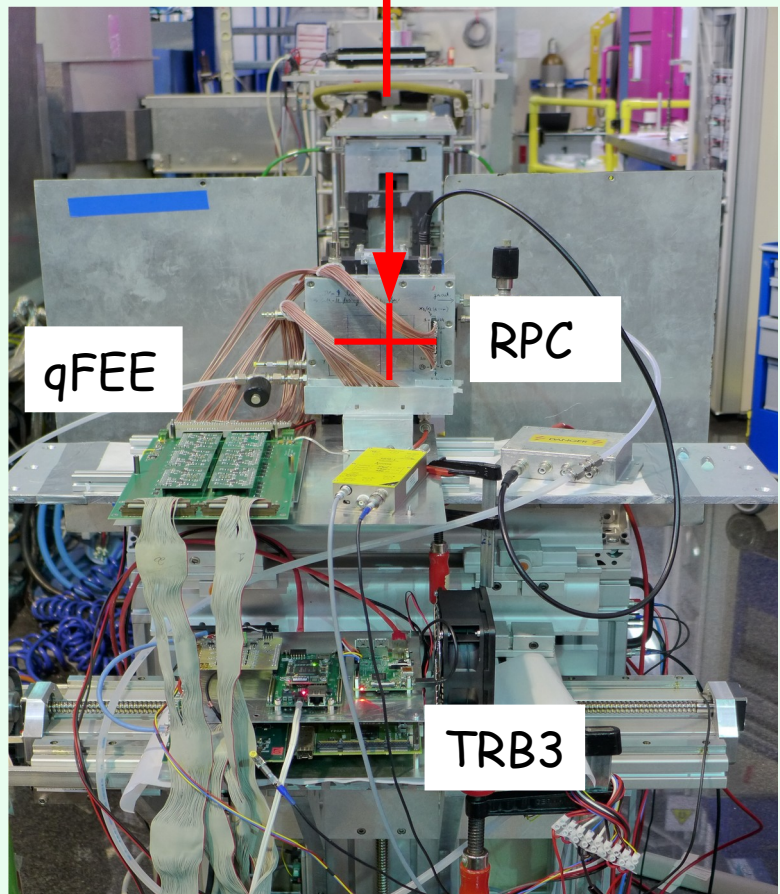
Detetores RPC.

Detetores de neutrões baseados em ^{10}B

Relação custo/área ótima, alta resolução espacial e eficiência

0.100 mm σ resolução posição
Nunca antes feito !!!

neutrão



60%
Eficiência de deteção